

Advanced Laser and Photon Science

レーザー・光量子科学特論E

High-harmonic generation

高次高調波発生



Kenichi Ishikawa (石川顕一)

downloadable from ITC-LMS, NEM google drive, and
<http://ishiken.free.fr/english/lecture.html>

<http://www.atto.t.u-tokyo.ac.jp>

ishiken@n.t.u-tokyo.ac.jp

HARMONIC GENERATION

高調波発生

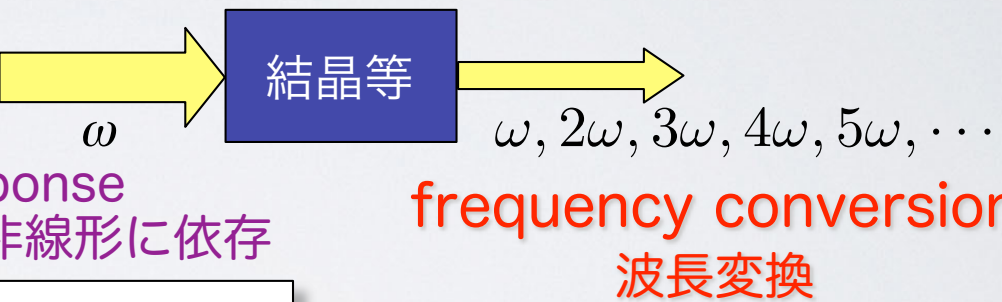
Linear optical effect
線形光学効果

Material response is linear in light intensity



Nonlinear optical effect
非線形光学効果

Nonlinear material response
物質の応答が、入射光強度に非線形に依存



frequency conversion
波長変換

2ω : 2次高調波(2nd harmonic)

3ω : 3次高調波(3rd harmonic)

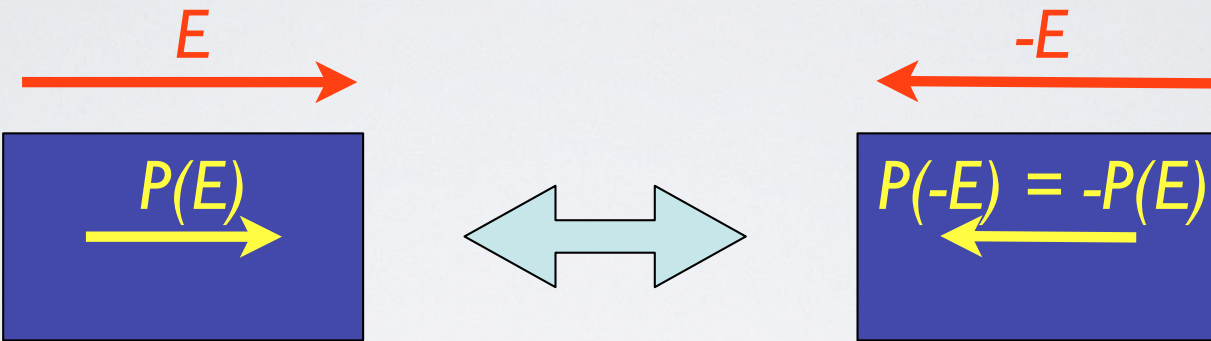
.....

$$D = \epsilon_0 E + P$$
$$P = \epsilon_0 [\chi^{(1)} E + \chi^{(2)} E^2 + \chi^{(3)} E^3 + \dots]$$

非線形分極 nonlinear
線形分極 linear polarization

$$\nabla \times \nabla \times \mathbf{E} = -\mu_0 \frac{\partial^2 \mathbf{D}}{\partial t^2}$$

(直線偏光) 反転対称な物質では奇数次のみ
Even-order components vanish for a
medium with inversion symmetry



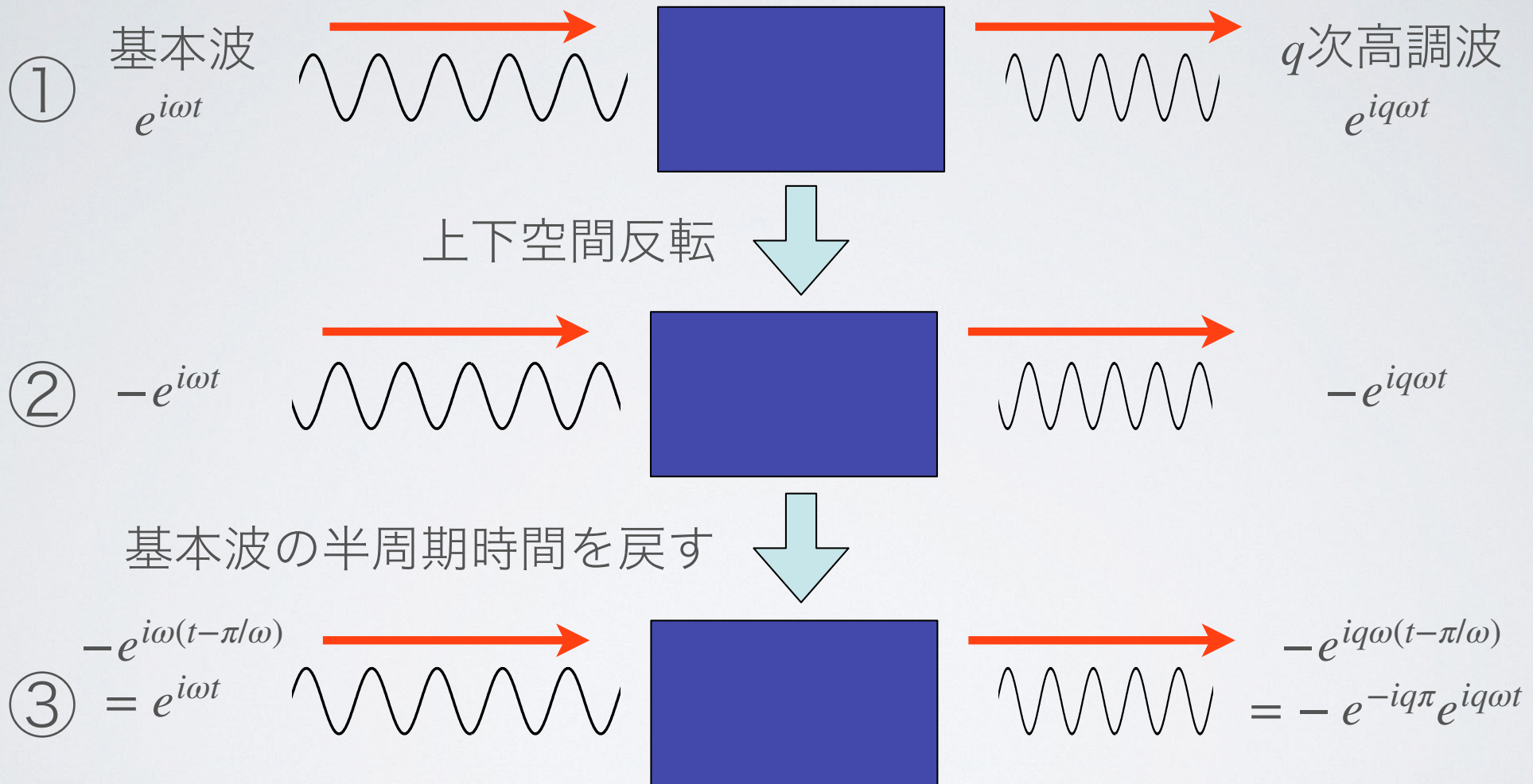
$$P(E) = \epsilon_0 \left[\chi^{(1)} E + \chi^{(2)} E^2 + \chi^{(3)} E^3 + \chi^{(4)} E^4 + \dots \right]$$

$$P(-E) = \epsilon_0 \left[-\chi^{(1)} E + \chi^{(2)} E^2 - \chi^{(3)} E^3 + \chi^{(4)} E^4 - \dots \right]$$

$$-P(E) = \epsilon_0 \left[-\chi^{(1)} E - \chi^{(2)} E^2 - \chi^{(3)} E^3 - \chi^{(4)} E^4 - \dots \right]$$

$$\chi^{(2)} = 0, \chi^{(4)} = 0, \dots$$

(直線偏光) 反転対称な物質では奇数次のみ
 (摂動展開を使わない別証明)



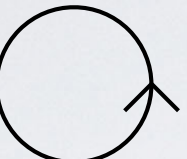
①と③は同じ状況 $\rightarrow e^{-iq\pi} = -1 \rightarrow q = \text{奇数}$

(円偏光) n 回対称な物質

①

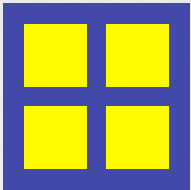
基本波

$$e^{i\omega t}$$



$$E_x(t) = \operatorname{Re} e^{i\omega t}, E_y(t) = \operatorname{Im} e^{i\omega t}$$

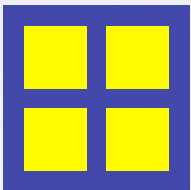
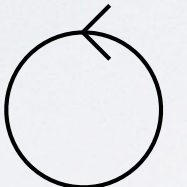
360/n (= 90)度回転

 $n=4$ の場合 q 次高調波

$$e^{iq\omega t}$$

②

$$e^{i\omega t} e^{i2\pi/n}$$

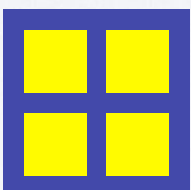
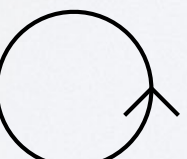


$$e^{iq\omega t} e^{i2\pi/n}$$

基本波の $1/n$ 周期時間を戻す

③

$$e^{i\omega(t-2\pi/n\omega)} e^{i2\pi/n} = e^{i\omega t}$$



$$e^{iq\omega(t-2\pi/n\omega)} e^{i2\pi/n} = e^{iq\omega t} e^{-i2\pi(q-1)/n}$$

①と③は
同じ状況

$$e^{-i2\pi(q-1)/n} = 1$$

$$q = n \times \text{整数} + 1$$

負でもよい

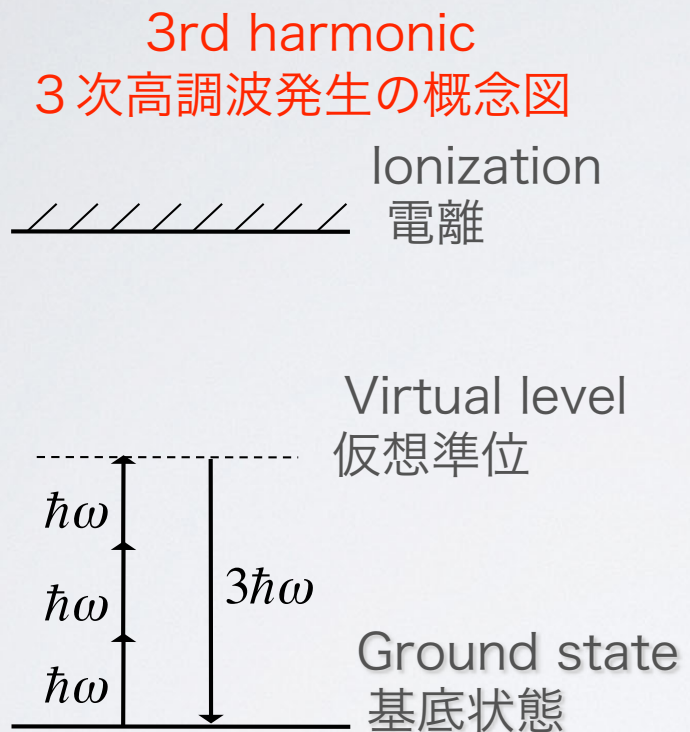
 $(n \times \text{非負整数} + 1)$ 次 $(n \times \text{自然数} - 1)$ 次

同

逆

摂動論的高調波発生

PERTURBATIVE HARMONIC GENERATION



Transition matrix element 遷移行列要素

$$M_{\text{THG}} = \sum_{h,i,f} \left\{ \frac{\epsilon_3 \cdot \mathbf{D}_{1h} \epsilon_1 \cdot \mathbf{D}_{hi} \epsilon_1 \cdot \mathbf{D}_{ij} \epsilon_1 \cdot \mathbf{D}_{j1}}{(3\omega_1 - \omega_h)(2\omega_1 - \omega_i)(\omega_1 - \omega_j)} \right.$$

$$\left. + \frac{\epsilon_1 \cdot \mathbf{D}_{1h} \epsilon_3 \cdot \mathbf{D}_{hi} \epsilon_1 \cdot \mathbf{D}_{ij} \epsilon_1 \cdot \mathbf{D}_{j1}}{(-\omega_1 - \omega_h)(2\omega_1 - \omega_i)(\omega_1 - \omega_j)} \right.$$

$$\left. + \frac{\epsilon_1 \cdot \mathbf{D}_{1h} \epsilon_1 \cdot \mathbf{D}_{hi} \epsilon_3 \cdot \mathbf{D}_{ij} \epsilon_1 \cdot \mathbf{D}_{j1}}{(-\omega_1 - \omega_h)(-2\omega_1 - \omega_i)(-\omega_1 - \omega_j)} \right.$$

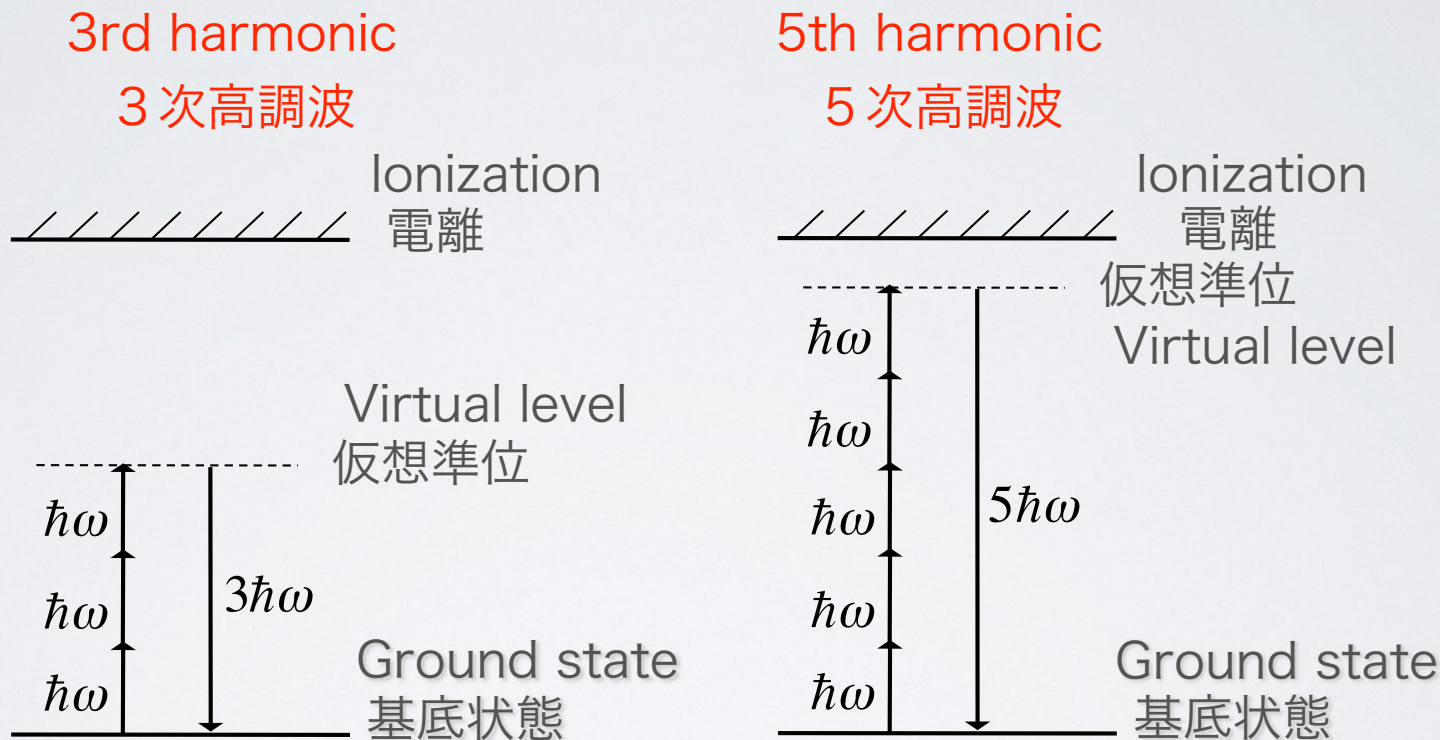
$$\left. + \frac{\epsilon_1 \cdot \mathbf{D}_{1h} \epsilon_1 \cdot \mathbf{D}_{hi} \epsilon_1 \cdot \mathbf{D}_{ij} \epsilon_3 \cdot \mathbf{D}_{j1}}{(-\omega_1 - \omega_h)(-2\omega_1 - \omega_i)(-3\omega_1 - \omega_j)} \right.$$

次数が高くなるほど、発生効率は減少。

order ↑ → efficiency ↓

摂動論的高調波発生

(PERTURBATIVE HARMONIC GENERATION)



次数が高くなるほど、発生効率は減少。

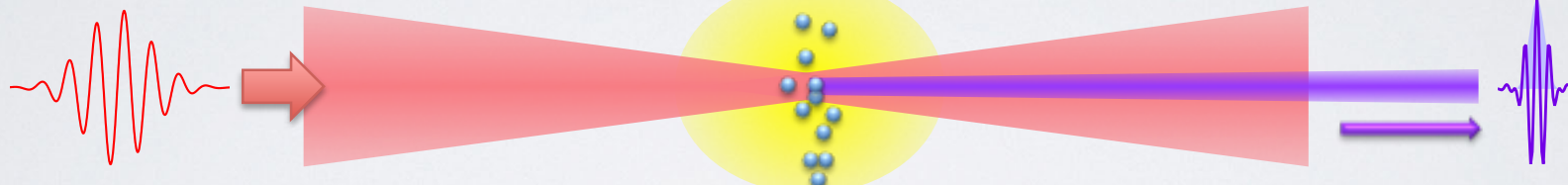
order ↑ → efficiency ↓

高次高調波発生 HIGH-HARMONIC GENERATION (HHG)

discovered in 1987

Intense femtosecond
laser pulse

高強度フェムト秒
レーザーパルス



High-order short-
wavelength pulse
高次の短波長光
(高次高調波)

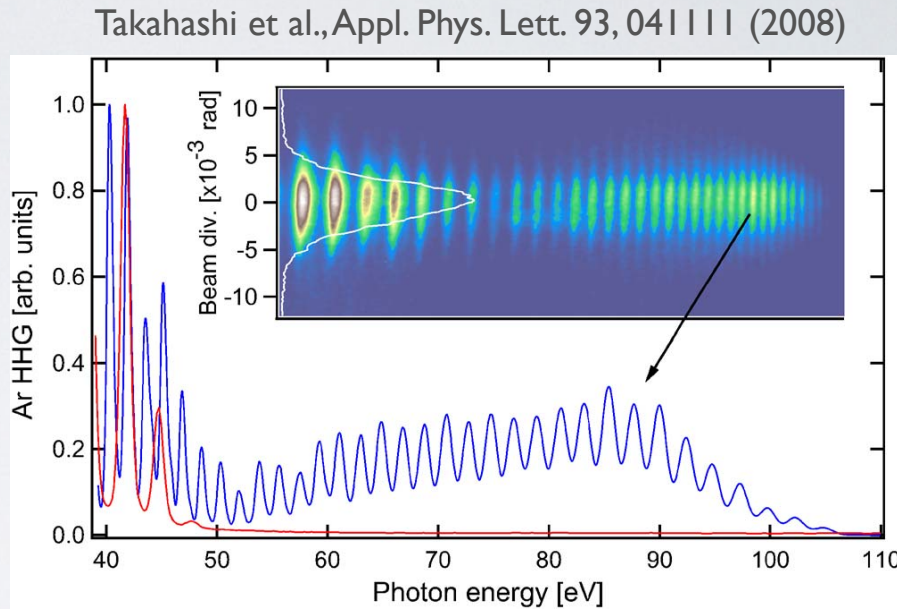
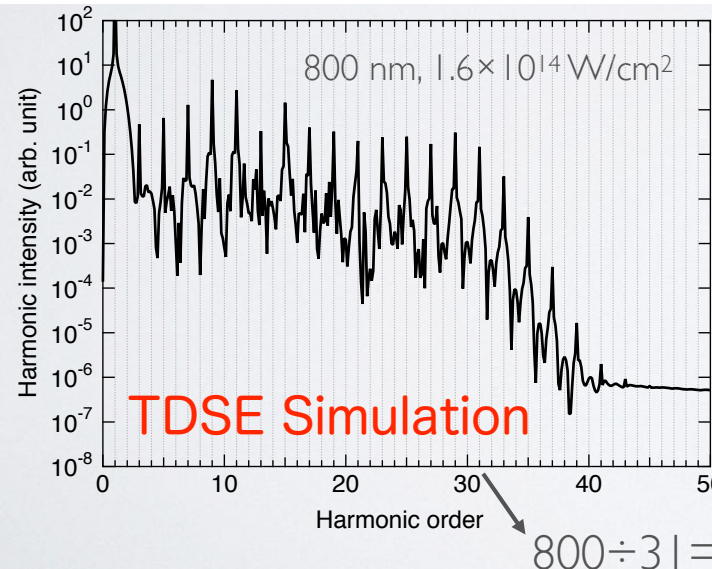
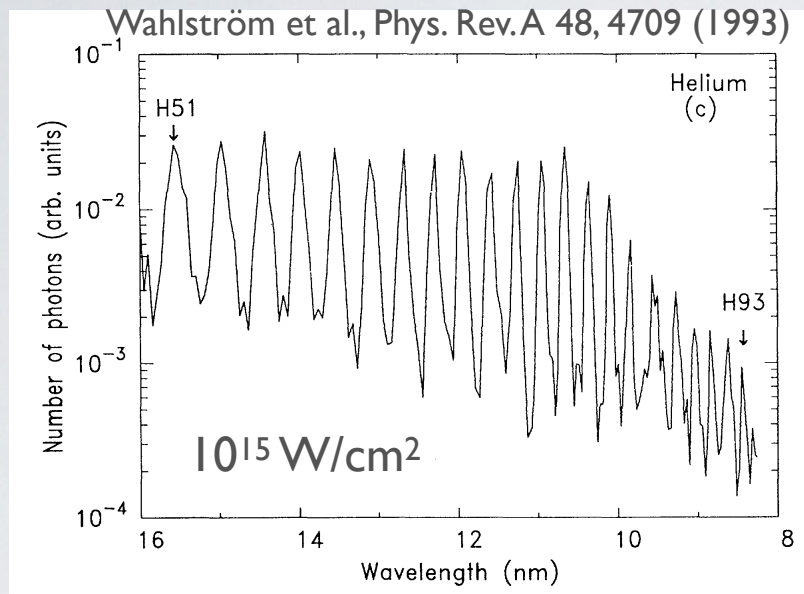
Highly nonlinear optical process in which the frequency of laser light is converted into its integer multiples. Harmonics of very high orders are generated.

新しい極端紫外・軟エックス線光源として注目される。

New extreme ultraviolet (XUV) and soft X-ray source

How high orders?

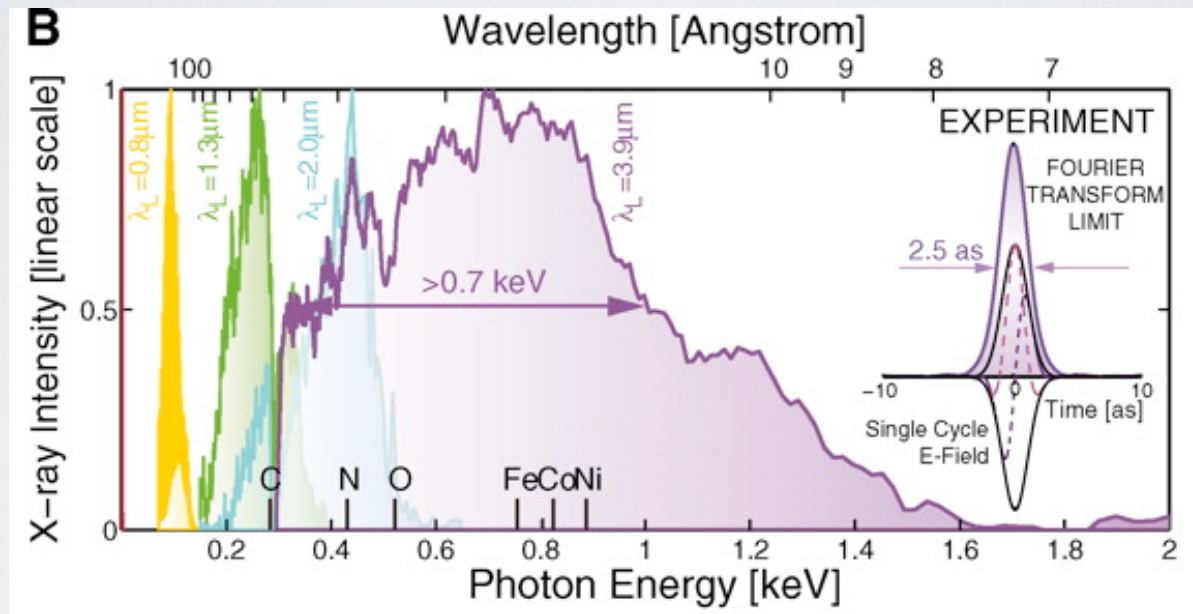
HARMONIC SPECTRUM 高調波スペクトル



Only odd orders 奇数次のみ

↑
gas is a medium of
inversion symmetry
期待媒質は反転対称

Even up to 1.6 keV, > 5000 orders almost x-ray!



Popmintchev et al., Science 336, 1287 (2012)

a new type of laser-based radiation source

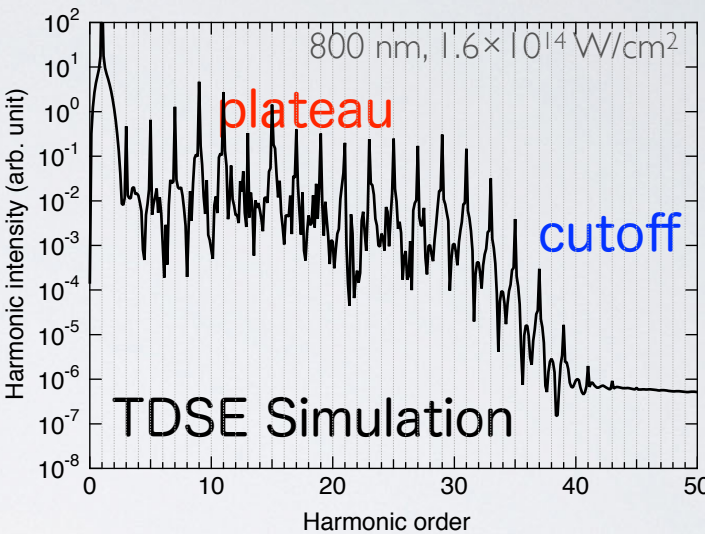
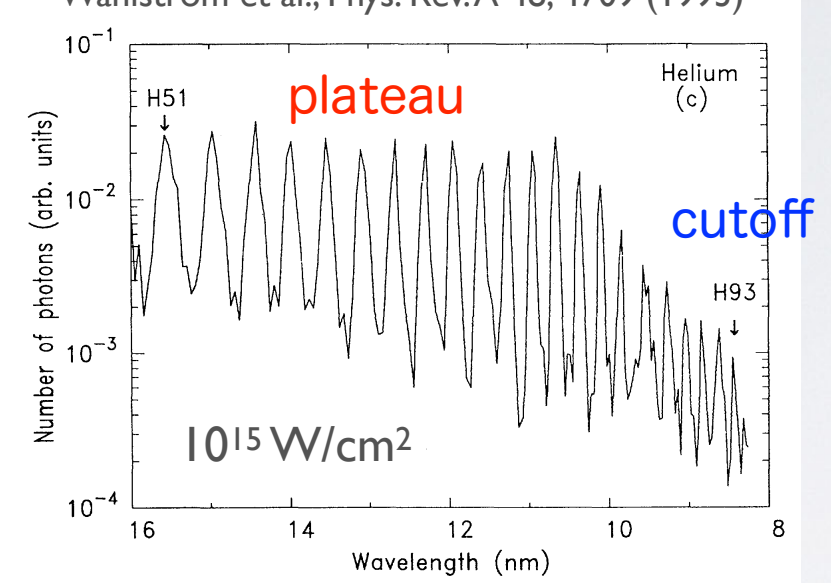
レーザーをベースにした新しいタイプの放射線源

more details at **Quantum Beam Engineering E** "Attosecond laser pulse"
(<http://ishiken.free.fr/english/lecture.html>)

Plateau and cutoff

- remarkable feature of high-harmonic generation -

Wahlström et al., Phys. Rev. A 48, 4709 (1993)



プラトー(plateau) : Efficiency does NOT decrease with increasing harmonic order. 次数が上がっても強度が落ちない。

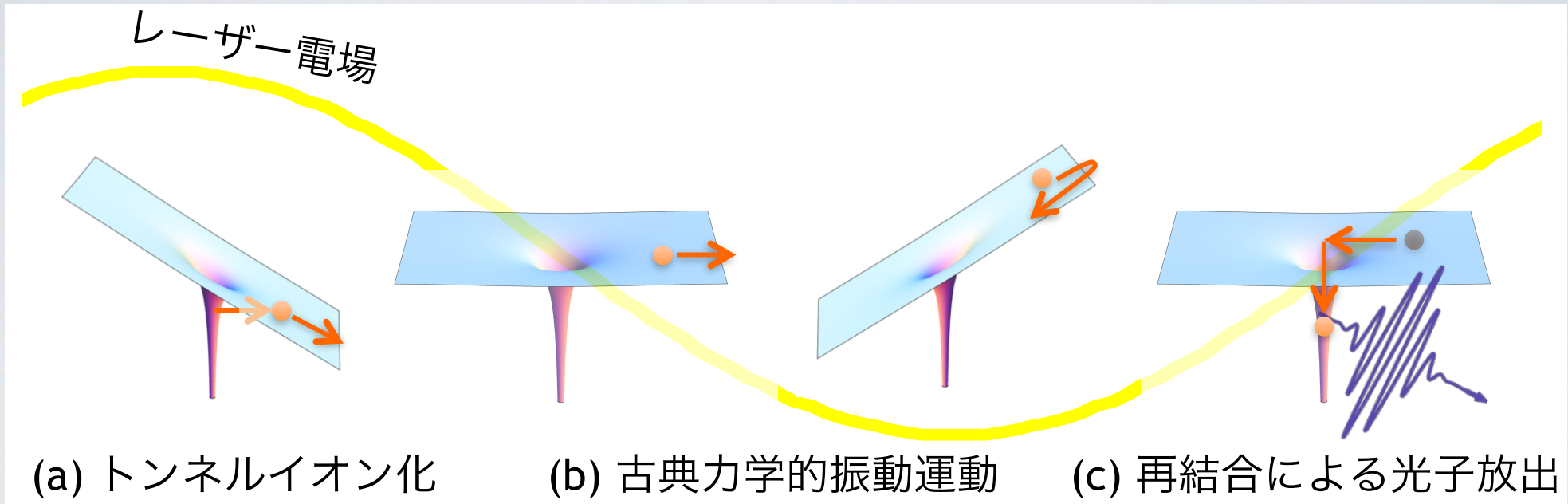
カットオフ(cutoff) : Maximum energy of harmonic photons

$$E_c \approx I_p + 3.17U_p \quad U_p(\text{eV}) = \frac{e^2 E_0^2}{4m\omega^2} = 9.3 \times 10^{-14} I(\text{W/cm}^2) \lambda^2(\mu\text{m})$$

ポンデロモーティブエネルギー ponderomotive energy

These features cannot be understood as perturbative harmonic generation.
摂動論的には解釈できない

高次高調波発生のメカニズム 3ステップモデル 3-STEP MODEL



Paul B. Corkum, Phys. Rev. Lett. 71, 1994 (1993)

K. C. Kulander et al., in *Super-Intense Laser-Atom Physics*, NATO ASI Ser. B, Vol. 316, p. 95 (1993)

Paul B. Corkum

3-STEP MODEL OF HHG

高次高調波発生の3ステップモデル

Ionization at $t = t_0$ with vanishing initial velocity at origin
 時刻 t_0 でイオン化。原点に初速ゼロで出現

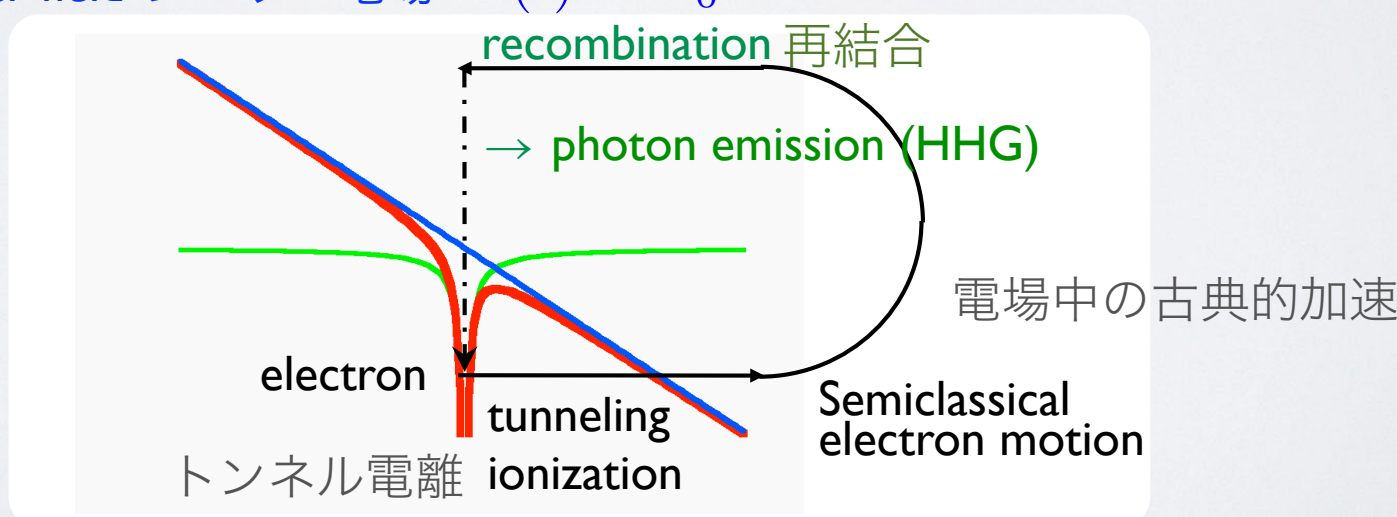
$$m\ddot{z} = -eE_0 \cos \omega t \quad \dot{z}(t_0) = 0 \quad z(t_0) = 0$$

Normalization 規格化 $\phi = \omega t \quad \phi_0 = \omega t_0$

$$z = \frac{E_0}{\omega^2} [(\cos \phi - \cos \phi_0) + (\phi - \phi_0) \sin \phi_0] \quad E_{\text{kin}} = 2U_p (\sin \phi - \sin \phi_0)^2$$

Recombination at $\phi = \phi_{\text{ret}}(\phi_0)$, which satisfies $z = 0$
 再衝突

Laser field レーザー電場 $E(t) = E_0 \cos \omega t$



TIME (PHASE) OF RECOMBINATION

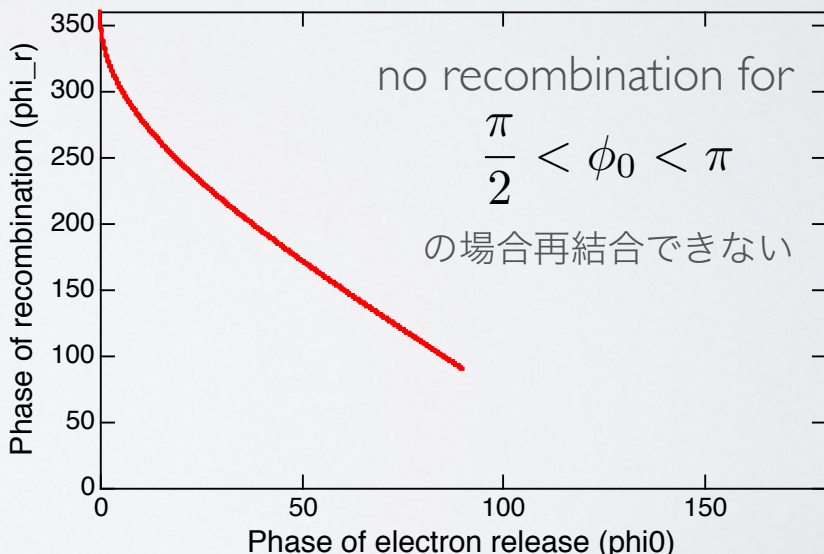
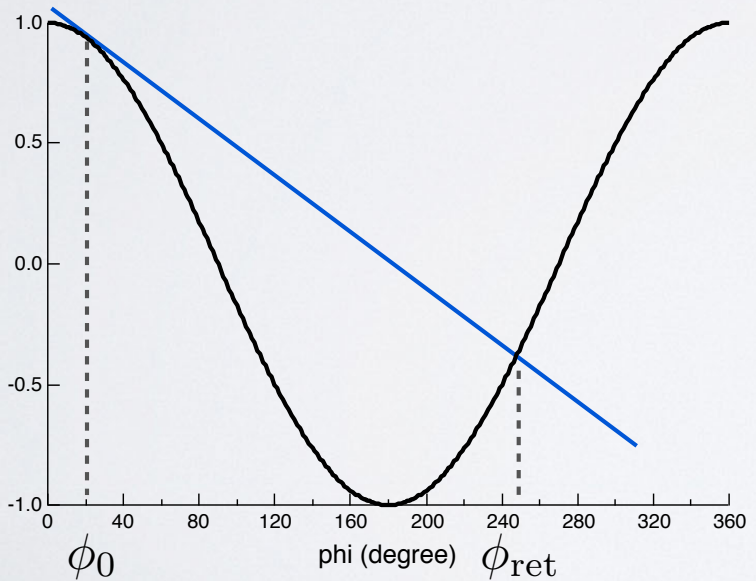
再衝突時刻

$$z = 0 \longrightarrow (\cos \phi_{\text{ret}} - \cos \phi_0) + (\phi_{\text{ret}} - \phi_0) \sin \phi_0 = 0$$

$$(\cos \phi)'|_{\phi_0} = \frac{\cos \phi_{\text{ret}} - \cos \phi_0}{\phi_{\text{ret}} - \phi_0}$$

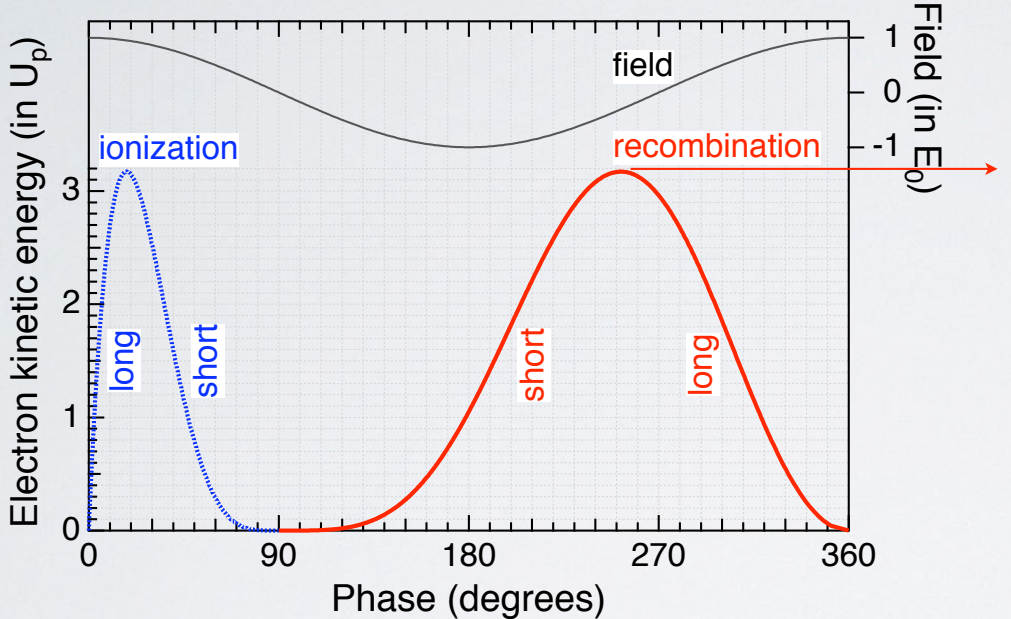
phase of ionization vs phase of recombination

イオン化時刻と再衝突時刻の関係



Simple explanation of the cut-off law

カットオフ則のシンプルな説明



There is the maximum kinetic energy which is classically allowed.

再結合時の運動エネルギーの最大値

$$3.17U_p$$

cut-off カットオフ

$$E_c = I_p + 3.17U_p$$

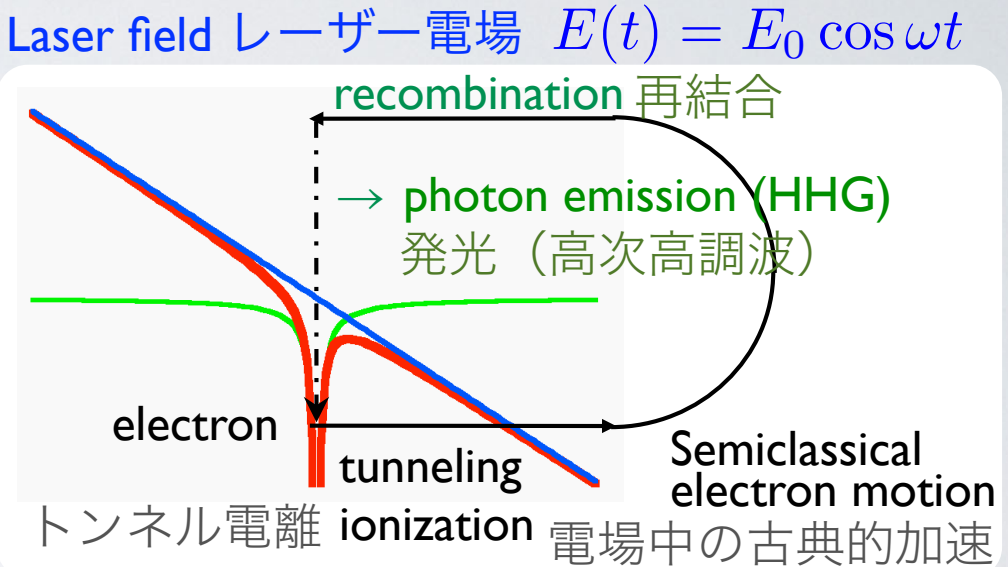
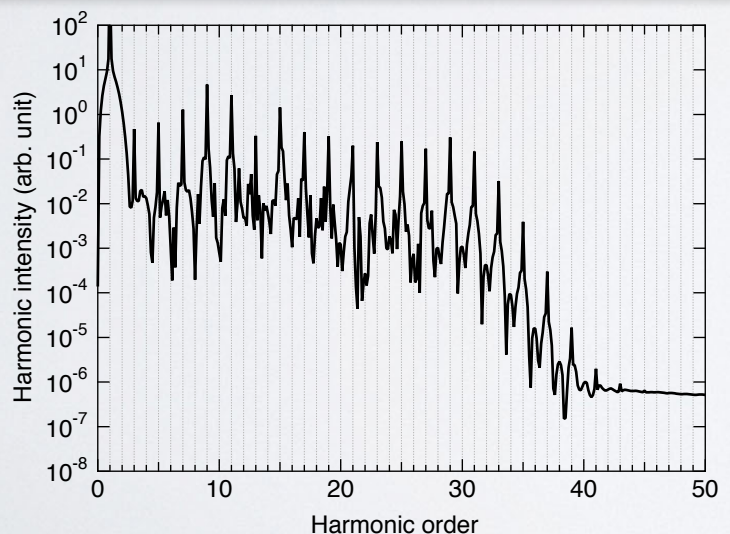
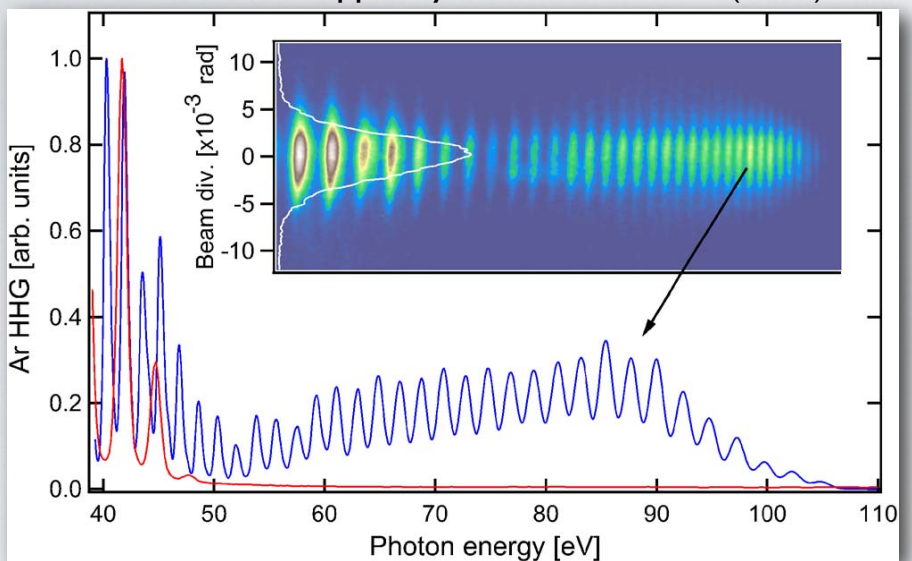
There are two pairs of ionization and recombination times which contribute to the same harmonic energy.

同じ高調波次数（光子エネルギー）に対応するイオン化時刻と再結合時刻のペアは2つある。

short trajectory
long trajectory

WHY DO HARMONIC SPECTRA CONSIST OF DISCRETE PEAKS? なぜ、高次高調波スペクトルは離散的なのか？

Takahashi et al., Appl. Phys. Lett. 93, 041111 (2008)

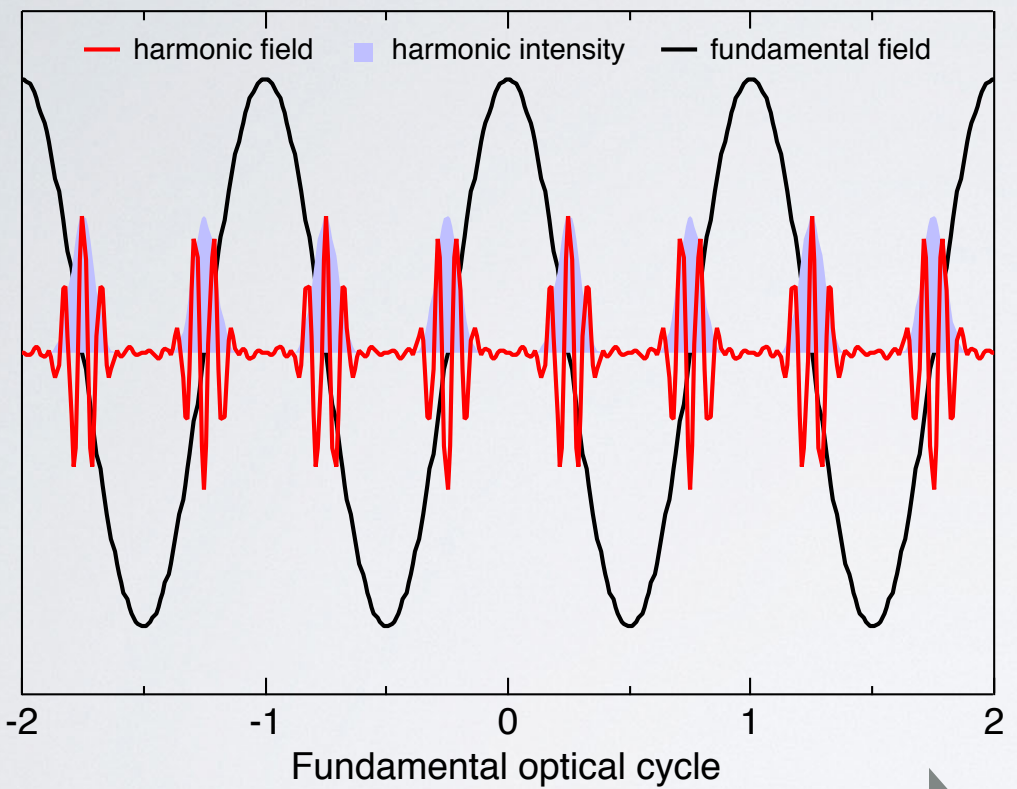


This is repeated every half cycle with an alternating phase

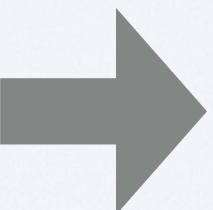
トンネル電離と高調波の発生は、レーザーの半周期ごとに起こる。

Harmonic electric field

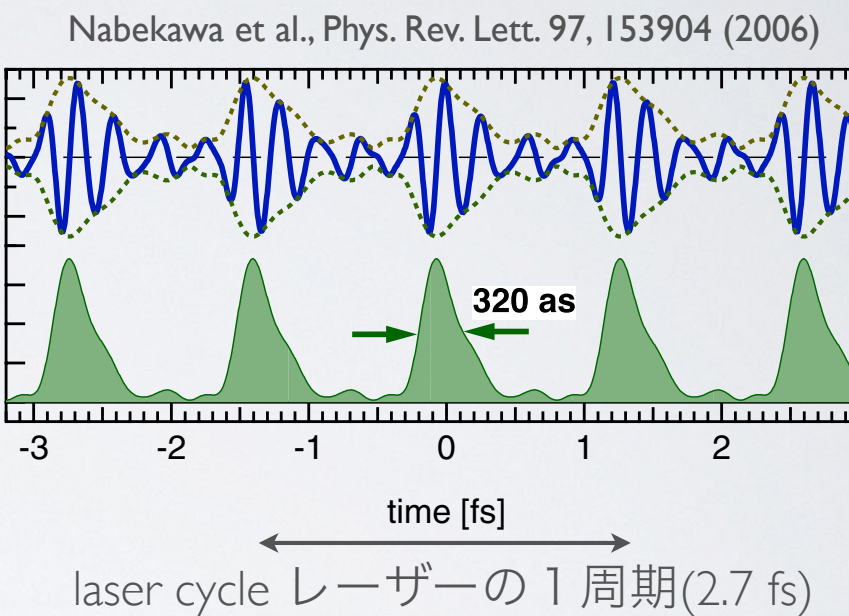
高調波の電場波形の概念図



$$f(t) = -f(t - \pi/\omega_0)$$



Experimentally measured
実験的にも観測されている



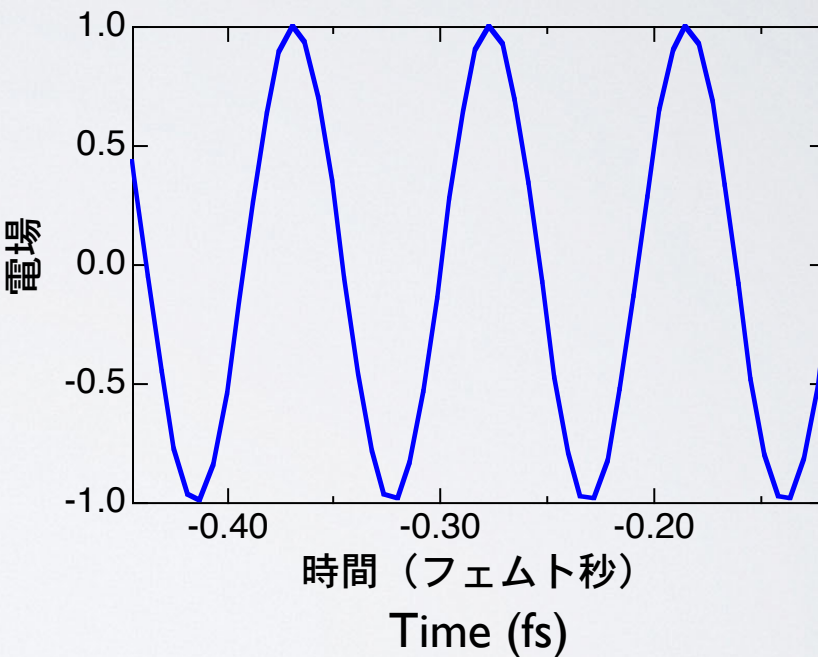
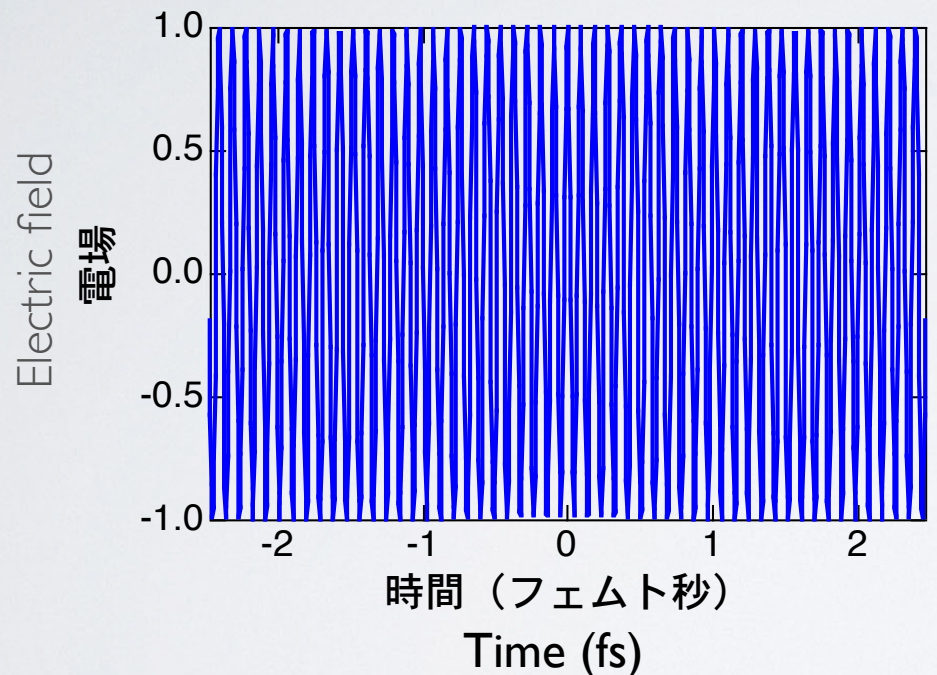
Spectrum only consists of
odd harmonics.

基本波の奇数倍の周波数成分のみを含む。

SINGLE FREQUENCY COMPONENT

1 つの次数のみが存在するときの光電界

$$E_h(t) = E_q \cos(q\omega + \phi_q) = E_{2n+1} \cos[(2n+1)\omega + \phi_{2n+1}]$$



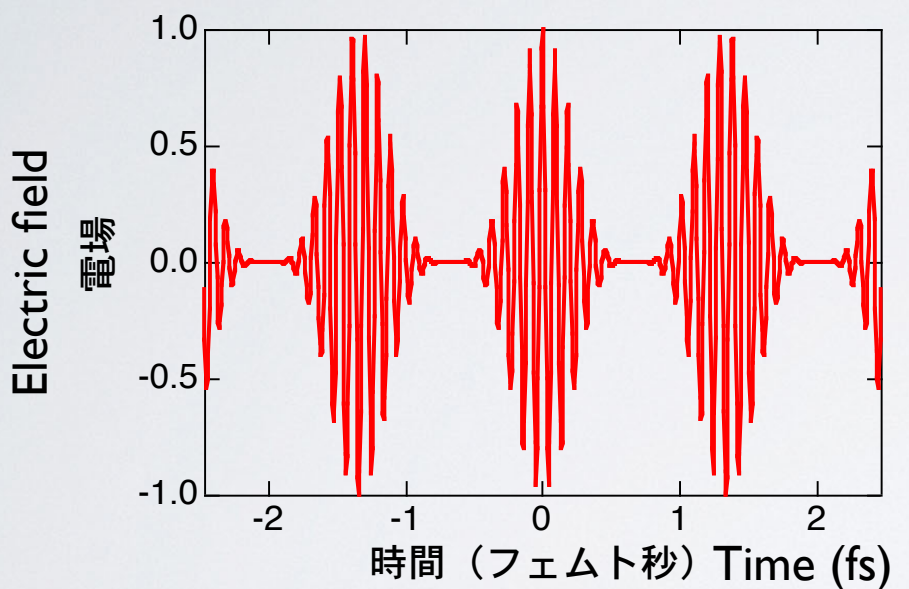
Continuous wave (no pulse)

連續波 (パルスではない)

MULTIPLE (ODD) HARMONIC COMPONENTS

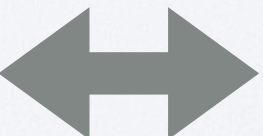
複数の次数（奇数次）が混在するときの光電界

$$E_h(t) = \sum_q E_q \cos(q\omega + \phi_q) = \sum_q E_{2n+1} \cos[(2n+1)\omega + \phi_{2n+1}]$$



- attosecond pulse train (APT)
アト秒パルス列になっている
- bursts repeated every half cycle of the fundamental laser
パルスの間隔は、基本波の半周期
- adjacent pulses have an opposite phase
隣り合うパルスは位相が反転

equispaced frequency
等間隔の周波数成分 components



train of repeated pulses 等間隔のパルス列

We don't need “photons” to understand harmonic generation

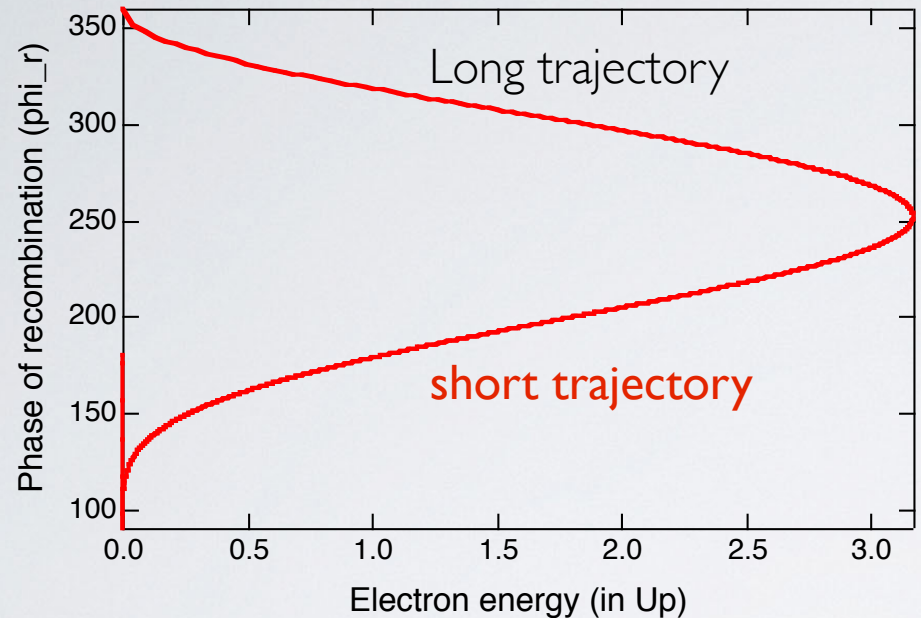
DISCRETE PEAKS OF ODD HARMONICS CAN BE INTERPRETED IN TWO WAYS.

高次高調波の奇数次のみを含む離散的なピークは、二通りに解釈できる。

- Integer number of photon energy +
inversion symmetry
光子エネルギーの整数倍 + 反転対称性
- **Light emission repeated every
half cycle** (with alternating phase)
基本波の半サイクルごとに、反対の位相で光放出

Time of emission depends on harmonic order

次数によって高調波の発生時刻が異なる

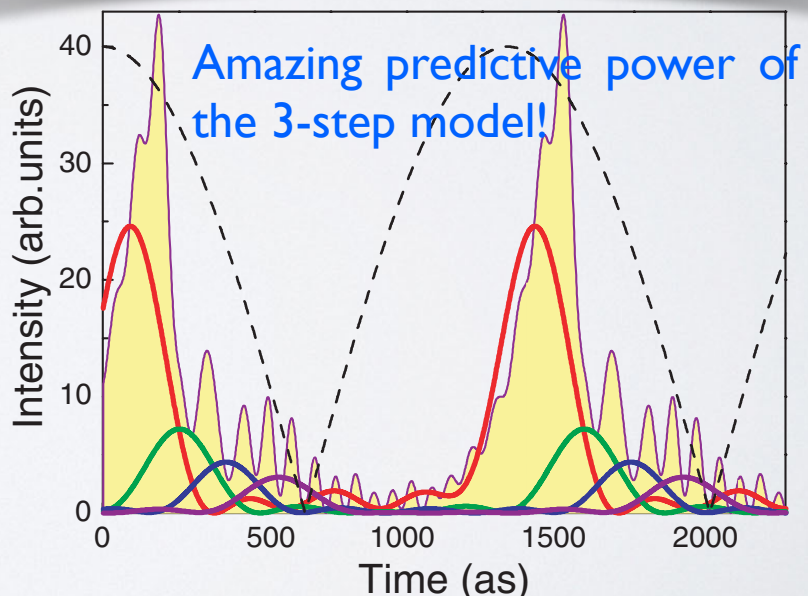
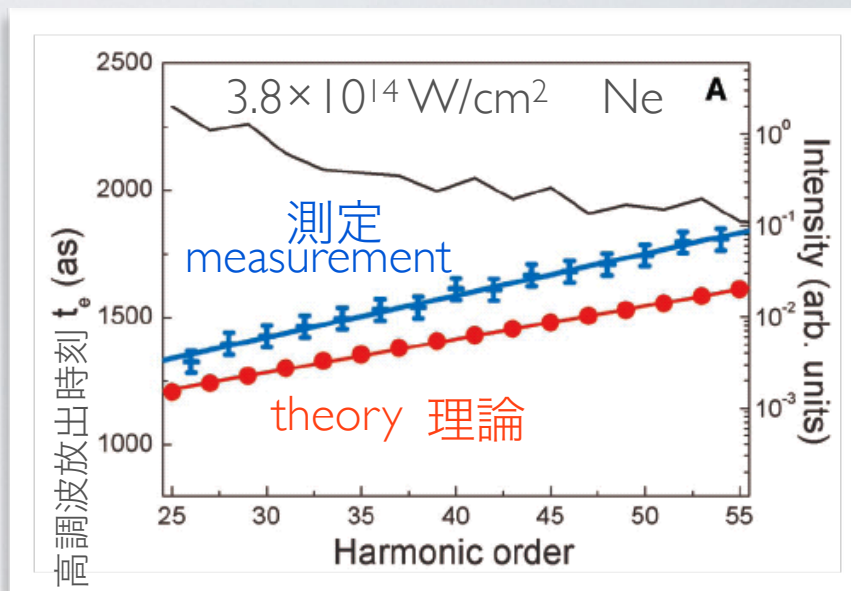


ショートトラジェクトリーの場合
低次が先に高次が後で発生する。

For the case of short trajectory
Higher-order components emitted later



Positive chirp
ポジティブチャープ

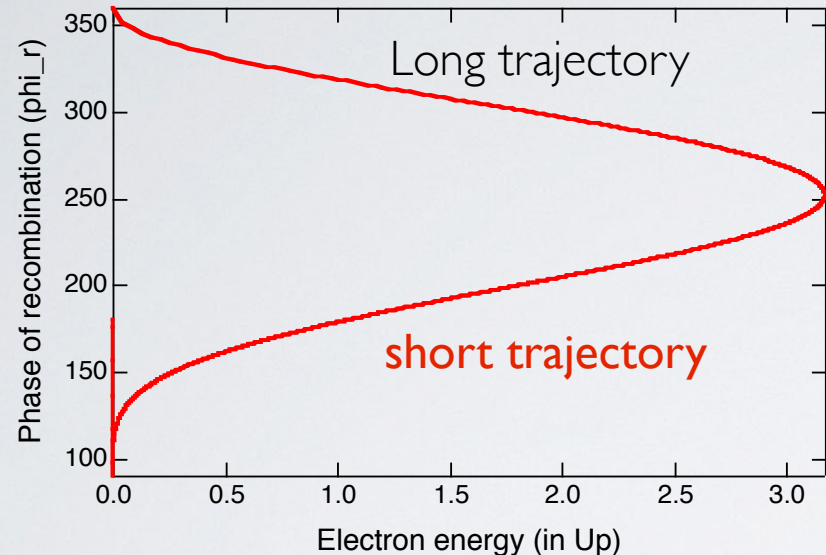


Mairesse et al., Science 302, 1540 (2003)

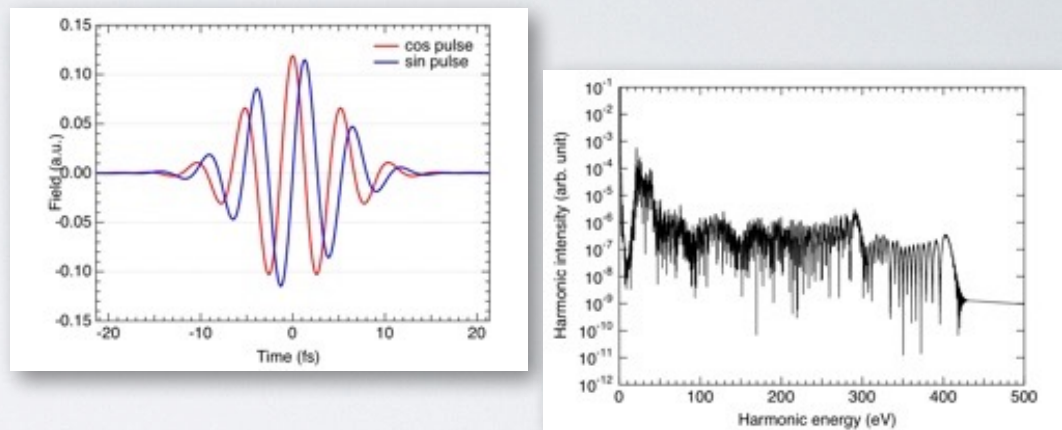
Varju et al., J. Mod. Opt. 52, 379 (2005)

Time of emission depends on harmonic order

次数によって高調波の発生時刻が異なる



TDSE simulation

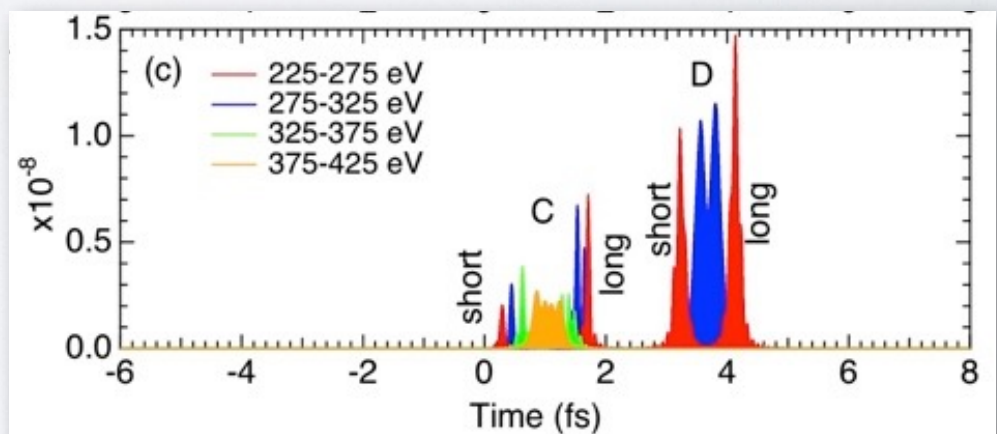


for the short trajectory

Positive chirp

for the long trajectory

Negative chirp



K. L. Ishikawa, "High-harmonic generation" in Advances in Solid-State Lasers, ed. by M. Grishin (INTECH, 2010) 439-464

高次高調波発生の量子論

Quantum theory of
high-harmonic generation

Lewenstein model

Lewenstein et al., Phys. Rev. A 49, 2117 (1994)

高強度場近似

Strong-field approximation (SFA)

- 励起状態の寄与を無視 The contribution of all the excited bound states can be neglected.
- 連続状態に対する原子のポテンシャルの効果を無視
(連続状態を平面波で近似) The effect of the atomic potential on the motion of the continuum electron can be neglected.
- 基底状態の減少を無視 The depletion of the ground state can be neglected.

$$i \frac{\partial \psi(\mathbf{r}, t)}{\partial t} = \left[-\frac{1}{2} \nabla^2 + V(\mathbf{r}) + zE(t) \right] \psi(\mathbf{r}, t)$$

双極子モーメント

Time-dependent dipole moment

$$= i \int_{-\infty}^t dt' \int d^3 \mathbf{p} \langle \varphi(\mathbf{r}) e^{iI_p t} | z | \mathbf{p} + \mathbf{A}(t) \rangle \exp \left[-i \int_{t'}^t dt'' \left(\frac{[\mathbf{p} + \mathbf{A}(t'')]^2}{2} \right) \right] \langle \mathbf{p} + \mathbf{A}(t') | z E(t') | \varphi(\mathbf{r}) e^{iI_p t'} \rangle + \text{c.c.}$$

3-step model
recombination
再結合
motion in the laser field
レーザー場中の運動
ionization
イオン化

$$= i \int_{-\infty}^t dt' \int d^3 \mathbf{p} \langle \varphi(\mathbf{r}) e^{iI_p t} | z | \mathbf{p} + \mathbf{A}(t) \rangle \exp \left[-i \int_{t'}^t dt'' \left(\frac{[\mathbf{p} + \mathbf{A}(t'')]^2}{2} \right) \right] \langle \mathbf{p} + \mathbf{A}(t') | z E(t') | \varphi(\mathbf{r}) e^{iI_p t'} \rangle + \text{c.c.}$$

Dipole moment between the recolliding wave packet and the ground state
再衝突電子波束と基底状態との間の双極子モーメント
recolliding electron wave packet
再衝突電子波束
ionization
イオン化

$$\rightarrow x(t) = i \int_{-\infty}^t dt' \int d^3 \mathbf{p} d^*(\mathbf{p} + \mathbf{A}(t)) \cdot \exp[-iS(\mathbf{p}, t, t')] \cdot E(t') d(\mathbf{p} + \mathbf{A}(t')) + \text{c.c.}$$

transition dipole
遷移双極子
transition dipole
遷移双極子

半古典的作用積分
semiclassical action

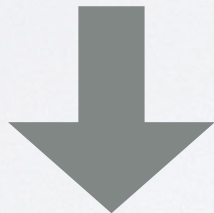
$$S(\mathbf{p}, t, t') = \int_{t'}^t dt'' \left(\frac{[\mathbf{p} + \mathbf{A}(t'')]^2}{2} + I_p \right)$$

HARMONIC SPECTRUM = FOURIER TRANSFORM OF DIPOLE MOMENT

高調波スペクトル=双極子モーメントのフーリエ変換

$$\hat{x}(\omega_h) = i \int_{-\infty}^{\infty} dt \int_{-\infty}^t dt' \int d^3\mathbf{p} d^*(\mathbf{p} + \mathbf{A}(t)) \cdot \exp[i\omega_h t - iS(\mathbf{p}, t, t')] \cdot E(t') d(\mathbf{p} + \mathbf{A}(t')) + \text{c.c.}$$

5重積分 five-dimensional integral



鞍点解析 saddle-point analysis

cf. path integral 経路積分

saddle-point analysis (SPA)

Saddle-point equations

solutions 解 → trajectories トラジェクトリー

$$\frac{[p + A(t')]^2}{2} = -I_p$$

tunneling ionization

t' time of ionization

トンネル電離

t time of recombination

$$\int_{t'}^t [p + A(t'')] dt'' = 0$$

recombines at the location of ionization

イオン化と再結合の位置が同じ

$$\frac{[p + A(t)]^2}{2} + I_p = \omega_h$$

harmonic photon energy

= kinetic energy at recombination + ionization potential

高調波の光子エネルギー = 再結合時の運動エネルギー + イオン化ポテンシャル

$$\hat{x}(\omega_h) = \sum_s \left(\frac{\pi}{\epsilon + \frac{i}{2}(t_s - t'_s)} \right)^{3/2} \frac{i2\pi}{\sqrt{\det S''(t, t')|_s}} d^*(p_s + A(t_s)) \\ \times \exp[i\omega_h t_s - iS(p_s, t_s, t'_s)] E(t'_s) d(p_s + A(t'_s)),$$

→ physically corresponds to the 3-step model
3ステップモデルに物理的に対応

Example of saddle-point solutions 鞍点解の例

$$E(t) = E_0 \cos \omega t \quad \text{Ar } (I_p = 15.7596 \text{ eV}) \quad 1.6 \times 10^{14} \text{ W/cm}^2$$

Real part (top) and imaginary part (bottom) of $\phi' = \omega t'$ $\phi = \omega t$ の実部（上）と虚部（下）

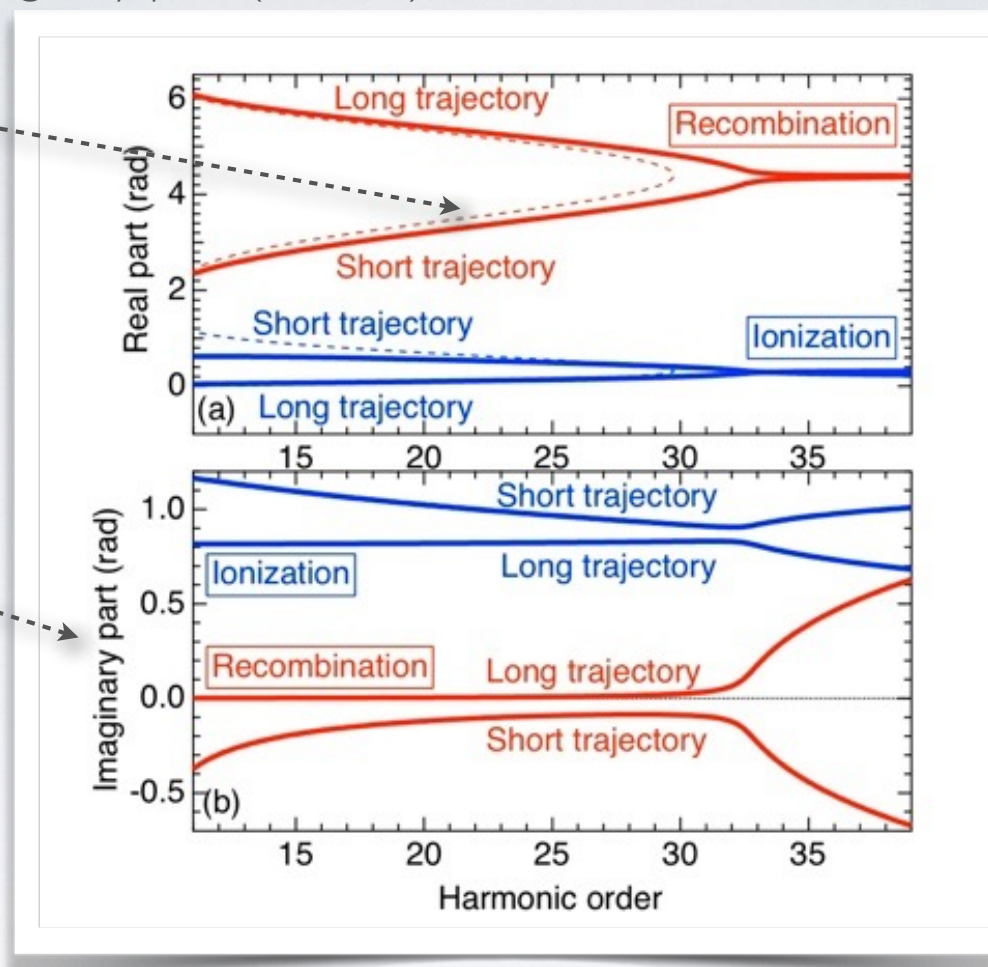
dashed lines:

3-step model

破線は3ステップモデルの解

interpreted as
“tunnelling time”

「トンネル時間」
に対応すると解釈
されている



cutoff カットオフ

$$E_c = 3.17U_p + gI_p \quad (g \approx 1.3)$$

- The 3-step model is a good approximation to the quantum-mechanical Lewenstein model → Success of the 3-step model

- 3ステップモデルは、量子力学的なLewensteinモデルのよい近似になっている。
→ 3ステップモデルの成功の理由